

บทที่ 4

ผลการวิจัย

ผู้วิจัยได้ออกแบบ หัววัดโพรบ วงจรเซนเซอร์ สำหรับวัดค่าไดอิเล็กตริกของไม้และแปลงค่าเป็นแรงดันไฟฟ้า และทดสอบวัดค่าความจุไฟฟ้าในอากาศของหัวโพรบและวัดค่าความจุไฟฟ้าของเนื้อไม้ นำมาเปรียบเทียบกันเพื่อหาค่าความจุไฟฟ้าที่เหมาะสมกับการวัดค่าความชื้นของไม้ รวมถึงวัดค่าแรงดันไฟฟ้าที่ได้จากวงจรและนำมาเปรียบเทียบกับค่าความชื้นที่ได้จากเครื่องมือวัดความชื้นที่เป็นมาตรฐานซึ่งผลการวัดมีแนวโน้มความเป็นเชิงเส้นตามที่ต้องการ นอกจากนี้ทางผู้วิจัยได้ออกแบบฟังก์ชันการทำงานของตัวเครื่องโดยการเขียนโปรแกรมควบคุมและสร้างตัวเครื่องสำหรับเป็นต้นแบบในการผลิต

ค่าความชื้นไม้ (%)	ค่าความจุไฟฟ้า(pF)
0	14
12.5	28
12.7	30
15.9	47
29.2	85

ตารางที่ 4.1 ค่าความจุไฟฟ้าของไม้ที่มีความชื้นต่างกันซึ่งวัดค่าโดยใช้มัลติมิเตอร์

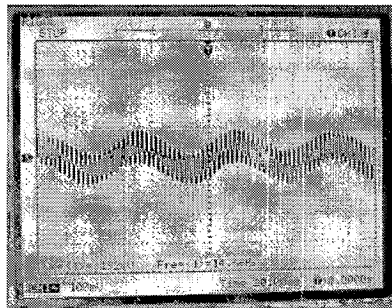
ขนาดแผ่นเพลทเซนเซอร์ (mm.)	ค่าความจุไฟฟ้าในอากาศ (pF)
30x36	15
35x42	19
40x48	26

ตารางที่ 4.2 ค่าความจุไฟฟ้าของแผ่นเพลทเซนเซอร์แต่ละขนาด

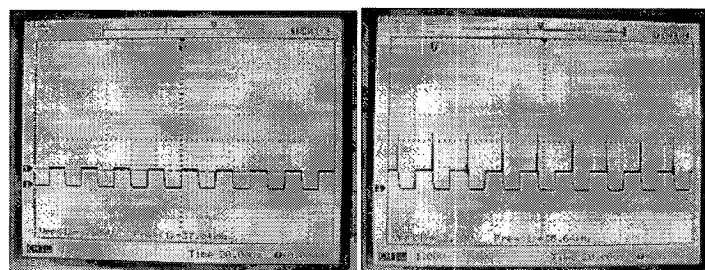
ออกแบบวงจรภาคเซนเซอร์เพื่อวัดค่าไดอิเล็กตริกของไม้และเปลี่ยนเป็นค่าเป็นแรงดันไฟฟ้า ซึ่งอาศัยการเปลี่ยนแปลงของค่าไดอิเล็กตริกของสารเมื่อค่าความชื้นเปลี่ยนแปลงและเปรียบเทียบกับค่าแรงดันอ้างอิง

4.1 ผลการทดลองวัดค่าสัญญาณที่ได้จากวงจรเซนเซอร์

ผู้วิจัยได้ปรับปรุงวงจรวัดค่าไดอิเล็กตริกของไม้เพื่อให้สามารถวัดค่าได้ดีขึ้นจากเดิมโดยอาศัยการส่งผ่านคลื่นความถี่สูงผ่านวงจรบริดจ์เร็คทีไฟเออร์ โดยอาศัยการวัดค่าอิมพีแดนซ์ของแผ่นเพลทเซนเซอร์ที่เปลี่ยนแปลงและนำข้อมูลไปวิเคราะห์เพื่อหาค่าความคลาดเคลื่อนของชุดเซนเซอร์ก่อนนำไปวัดเทียบกับค่าความชื้นที่ได้จากเครื่องมือที่เป็นมาตรฐานเพื่อเขียน โปรแกรมคำนวณค่าความชื้นไม้สำหรับสร้างเครื่องมือวัดต่อไป



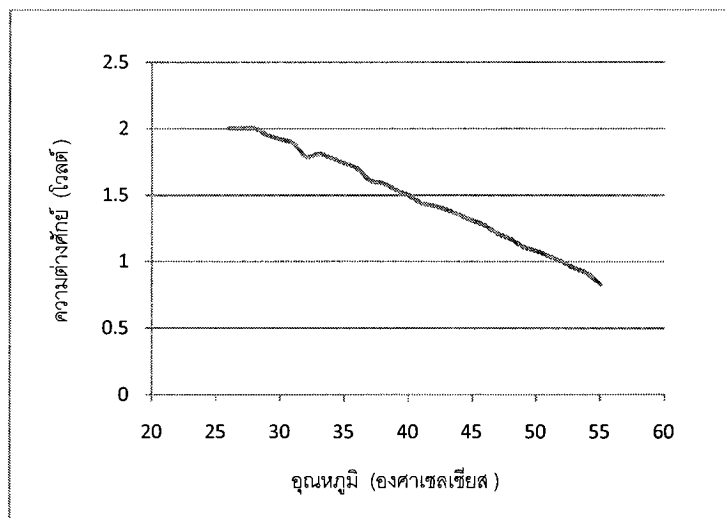
ภาพที่ 4.1 สัญญาณที่ผ่านการมอดูเลตจากวงจรโพรบวัด



ภาพที่ 4.2 สัญญาณจากเครื่องวัดเมื่อไม้ความชื้น 8 % (ซ้าย) และความชื้น 26 % (ขวา)

ค่าความชื้นไม้ (%)	ค่าแรงดันไฟฟ้า(V)
0	3.45
1	3.42
3	3.39
9	3.15
13	2.93
18	2.69
22	2.47

ตารางที่ 4.3 ค่าแรงดันไฟฟ้าที่ได้จากวงจรแบบที่ 1



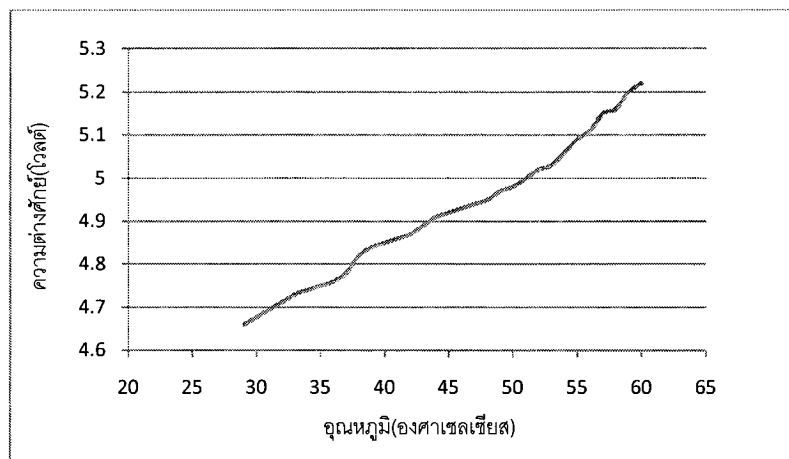
ภาพที่ 4.3 ความคลาดเคลื่อนของความต่างศักย์เนื่องจากอุณหภูมิ

สัญญาณที่ได้จากวงจรวัดค่าไดโอดีทรินซ์ของไม้แบบที่ 2 ซึ่งวัดค่าอิมพีแดนซ์ผ่านวงจรบริดจ์ และแปลงค่าเป็นความต่างศักย์ไฟฟ้า

ค่าความชื้นไม้ (%)	ค่าแรงดันไฟฟ้า(V)
13	4.53
14.4	4.73

ค่าความชื้นไม้ (%)	ค่าแรงดันไฟฟ้า(V)
16.8	4.52
18.3	4.46
19.7	4.61
20.2	4.62
22.3	4.67

ตารางที่ 4.4 ค่าความต่างศักย์จากวงจรแบบที่ 2 เมื่อไม้มีความชื้นต่างกัน

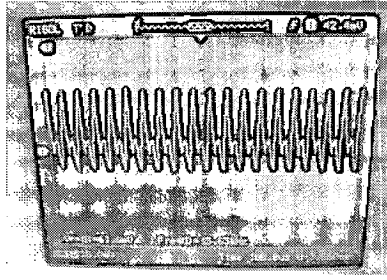


ภาพที่ 4.4 ความสัมพันธ์ของค่าความต่างศักย์จากชุดเซนเซอร์แบบที่ 1 เทียบกับอุณหภูมิ

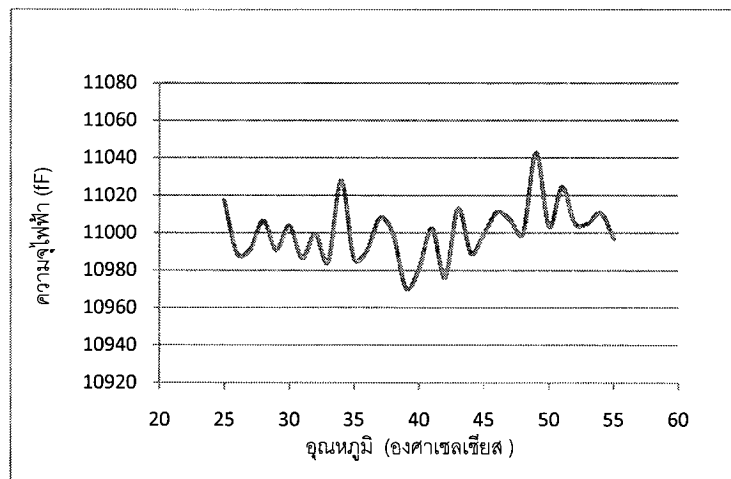
จากการวิเคราะห์กราฟค่าความต่างศักย์และอุณหภูมิที่เปลี่ยนแปลงพบว่าวงจร มีความคลาดเคลื่อนเนื่องจากการเปลี่ยนแปลงของค่าตัวเก็บประจุและวัสดุที่นำมาใช้เป็นหัววัด โพรบเนื่องจากการเปลี่ยนแปลงของอุณหภูมิมีลักษณะใกล้เคียงความเป็นเชิงเส้น



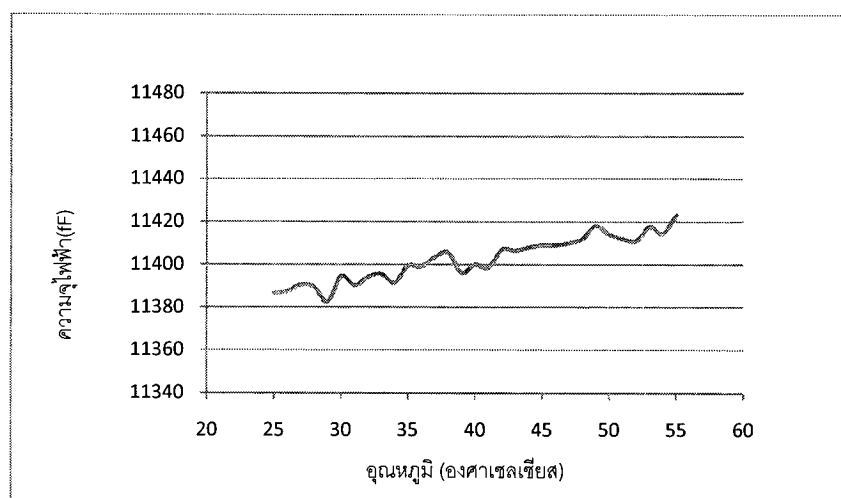
ภาพที่ 4.5 สัญญาณที่มอดูเลตแล้วซึ่งวัดจากปลายหัวโพรบ



ภาพที่ 4.6 สัญญาณความถี่สูง 15 kHz ที่อยู่ภายในสัญญาณความถี่ต่ำตัวพา 500 Hz



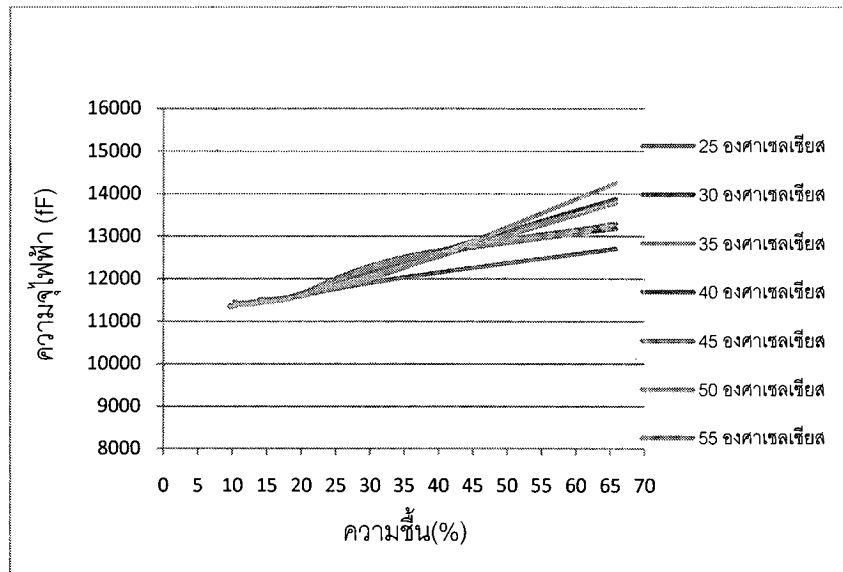
ภาพที่ 4.7 ความจุไฟฟ้าของอากาศเทียบกับอุณหภูมิ



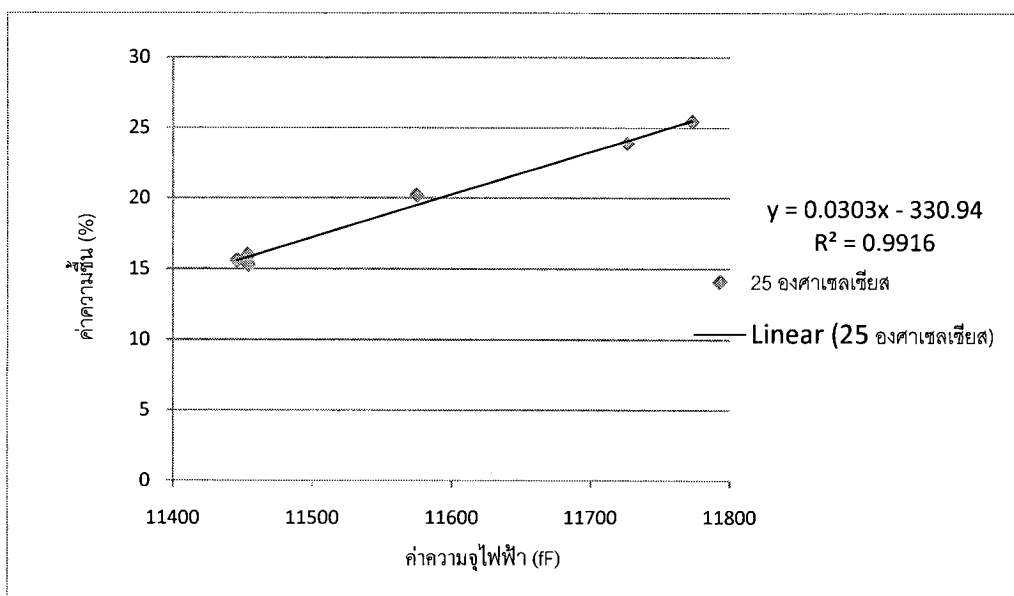
ภาพที่ 4.8 ความจุไฟฟ้าของไม้ที่มีความชื้น 7 เปอร์เซ็นต์ที่อุณหภูมิ 25 -55 องศาเซลเซียส

4.2 ผลการวัดค่าความจุไฟฟ้าที่ได้จากเครื่องวัดความชื้นที่สร้างขึ้น

จากการทดลองวัดค่าความจุไฟฟ้าจากเครื่องวัดความชื้นไม้ที่สร้างขึ้นเทียบกับค่าความชื้นที่วัดได้จากเครื่องมือมาตรฐานและนำข้อมูลมาเปรียบเทียบกันพบว่าที่อุณหภูมิเดียวกันค่าความจุไฟฟ้าแปรตามค่าความชื้นของไม้ที่เปลี่ยนแปลง โดยมีแนวโน้มเป็นเชิงเส้นและเมื่อเปรียบเทียบกับค่าความชื้นที่อุณหภูมิต่างกันจะพบว่าค่าความจุไฟฟ้านั้นเปลี่ยนแปลง โดยมีแนวโน้มเพิ่มขึ้นแบบเชิงเส้น



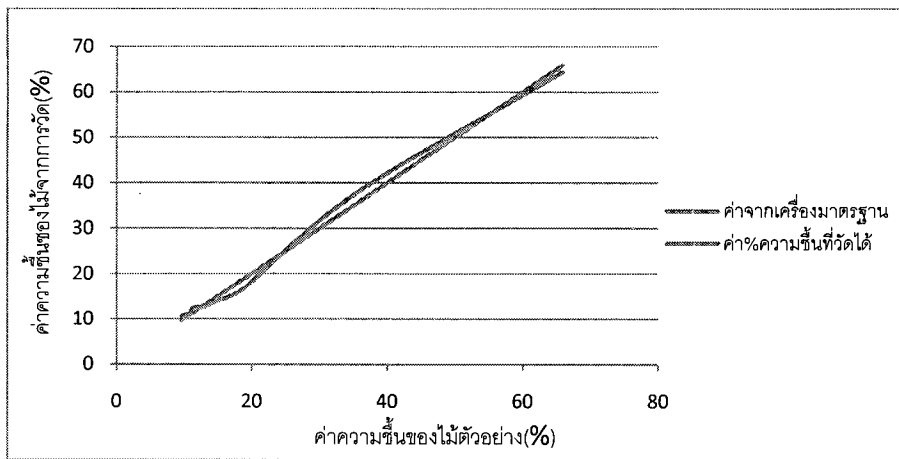
ภาพที่ 4.9 ค่าความจุไฟฟ้าเทียบกับค่าความชื้นของไม้พลาทที่อุณหภูมิ 25-55 องศาเซลเซียส



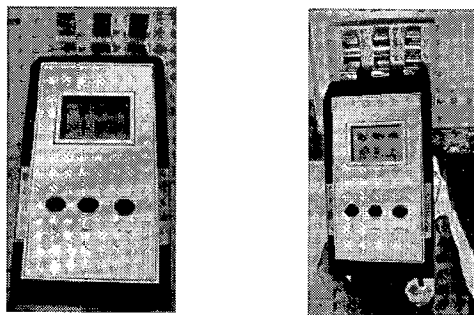
ภาพที่ 4.10 การประมาณค่าสมการเชิงเส้นเพื่อคำนวณค่าความชื้นที่ 25 องศาเซลเซียส

4.3 ผลการวัดค่าความชื้นไม้ของเครื่องมือที่สร้างขึ้นเทียบกับเครื่องมือมาตรฐาน

จากการวัดค่าความจุไฟฟ้าของไม้ตัวอย่างสามารถนำไปสร้างสมการความสัมพันธ์ระหว่างค่าความจุไฟฟ้าและความชื้นจากการวิเคราะห์ข้อมูลพบว่าอุณหภูมิที่เปลี่ยนแปลงคือค่าความชื้นของกราฟ ดังนั้นใช้การชดเชยค่าความเพี้ยนของอุณหภูมิที่เปลี่ยนแปลงเพื่อคำนวณค่าความชื้นที่แท้จริงสามารถใช้ในการเขียนโปรแกรมร่วมกับการใช้สมการความสัมพันธ์ของค่าสัมประสิทธิ์ของไม้แต่ละชนิดในการคำนวณเพื่อแก้ไขค่าการวัดให้ถูกต้อง



ภาพที่ 4.11 ค่าความชื้นที่วัดได้จากเครื่องเทียบกับค่าความชื้นจากเครื่องวัดมาตรฐาน



ภาพที่ 4.12 เครื่องวัดค่าความชื้นไม้ต้นแบบ